

Solution 1 : Analyse cinématique d'une broche à articulations idéales**Question 1 :**

- Nombre de segments (y compris la base) : $n = 14$
- Nombre de rotules (3 DDL) : 14
- Nombre de pivots (1 DDL) : 1
- Nombre de glissières (1 DDL) : 4
- Nombre total d'articulation : $k = 14 + 1 + 4 = 19$
- Nombre de boucles cinématiques : $b = k - n + 1 = 6$
- Mobilité : $M = \sum d_i - 6b = 14 \times 3 + 1 \times 1 + 4 \times 1 - 6 \times 6 = 11$

Question 2 : Par définition $DOH = DOF - M$. Etant donné qu'il est indiqué dans la donnée que cette structure ne comporte pas d'hyperstatisme ($DOH = 0$), nous avons ici $DOF = M = 11$.

Question 3 : On remarque que les 7 biellettes sont chacune dotées d'un degrés de liberté interne : elles peuvent chacune tourner librement autour de leur propre axe. Ainsi, $DOF_{internes} = 7$. Le degrés de spatialité de la nacelle est donc : $DOS_{nacelle} = DOF_{externes} = DOF - DOF_{internes} = 11 - 7 = 4$.

Remarques : Ces quatre degrés de libertés sont pilotés par les quatre moteurs.

Question 4 : Comme expliqué à la question précédente, $DOF_{internes} = 7$.

Solution 2 : Analyse cinématique qualitative de guidages flexibles à articulations orthogonales

Voir figures rassemblées à la fin du document.

Solution 3 : Analyse cinématique qualitative d'un guidage à 5 tiges orthogonales

Question 1. Degrés de liberté du bloc B, en utilisant la notation vue au cours.

$$\begin{array}{c} x_1 \ y_1^{Fp} \ z_1 \ rx_1 \ ry^{LFp} \ rz_2 \\ \text{ou} \\ x_2 \ y_1^{Fp} \ z_1 \ rx_1 \ ry^{LFp} \ rz_1 \end{array}$$

Question 2. Nombre de degrés de liberté du bloc B :

$$DOF = 2$$

Question 3 : Mobilité M de cette structure :

$$\begin{array}{c} M = 5 \times 5 - 4 \times 6 = 1 \\ (5 \text{ articulations à 5 degrés de liberté et 4 boucles indépendantes}) \\ \text{ou} \\ M = 6 \times 1 - 5 \times (6 - 5) = 1 \\ (1 \text{ segment et 5 joints dotés 5 DOF}) \end{array}$$

Question 4 : Degrés d'hyperstatisme de cette structure :

$$DOH = DOF - M = 1$$

Solution 4 : Analyse cinématique qualitative d'un guidage à 5 tiges (plaque)

Question 1. 3 solutions :

1. $x_1 \ y_1 \ z_1 \ rx^{Fp} \ ry^{Fp} \ rz_2$
2. $x_2 \ y_1 \ z_1 \ rx^{Fp} \ ry^{Fp} \ rz_1$
3. $x_1 \ y_2 \ z_1 \ rx^{Fp} \ ry^{Fp} \ rz_1$

Question 2. $DOF = 2$

Question 3. $M = \sum d_i - 6 \cdot b = 5 \cdot 5 - 6 \cdot 4 = 1$

Question 4. $DOH = DOF - M = 1$

Solution 5 : Table à lames parallèles entraînée par un "Pusher"

1. Course admissible :

$$\bullet \ x_{\text{adm}} = \frac{\sigma_{\text{adm}} \cdot L^2}{3 \cdot E \cdot h} = \boxed{6,72 \text{ mm}} \text{ avec, pour contrainte admissible, } \sigma_{\text{adm}} = \sigma_D / S = 467 \text{ MPa}$$

2. Amplitude du mouvement parasite :

$$\bullet \ \lambda = \frac{3 \cdot x_{\text{adm}}^2}{5 \cdot L} = \boxed{0,54 \text{ mm}}$$

3. Force nécessaire pour déformer le guidage en position x_{adm} :

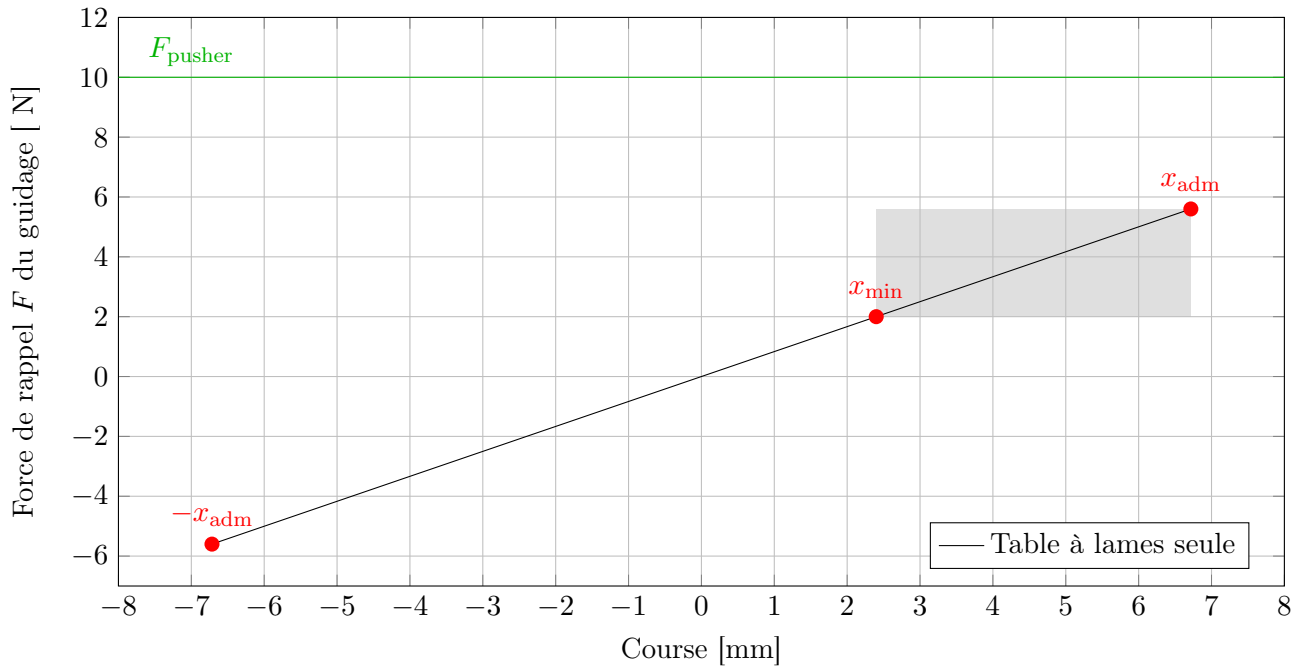
- Moment d'inertie de la section : $I = \frac{b \cdot h^3}{12}$
- Rigidité en translation du guidage : $K_{\text{table lames}} = \frac{24 \cdot E \cdot I}{L^3} = 834 \text{ N m}^{-1}$

- Force nécessaire pour déformer le guidage en position x_{adm} : $F = K_{\text{table lames}} \cdot x_{\text{adm}} = \boxed{5,6 \text{ N}}$

L'actionneur a donc assez de force.

4. Course minimale x_{min} pour garantir une précharge F_{min} :

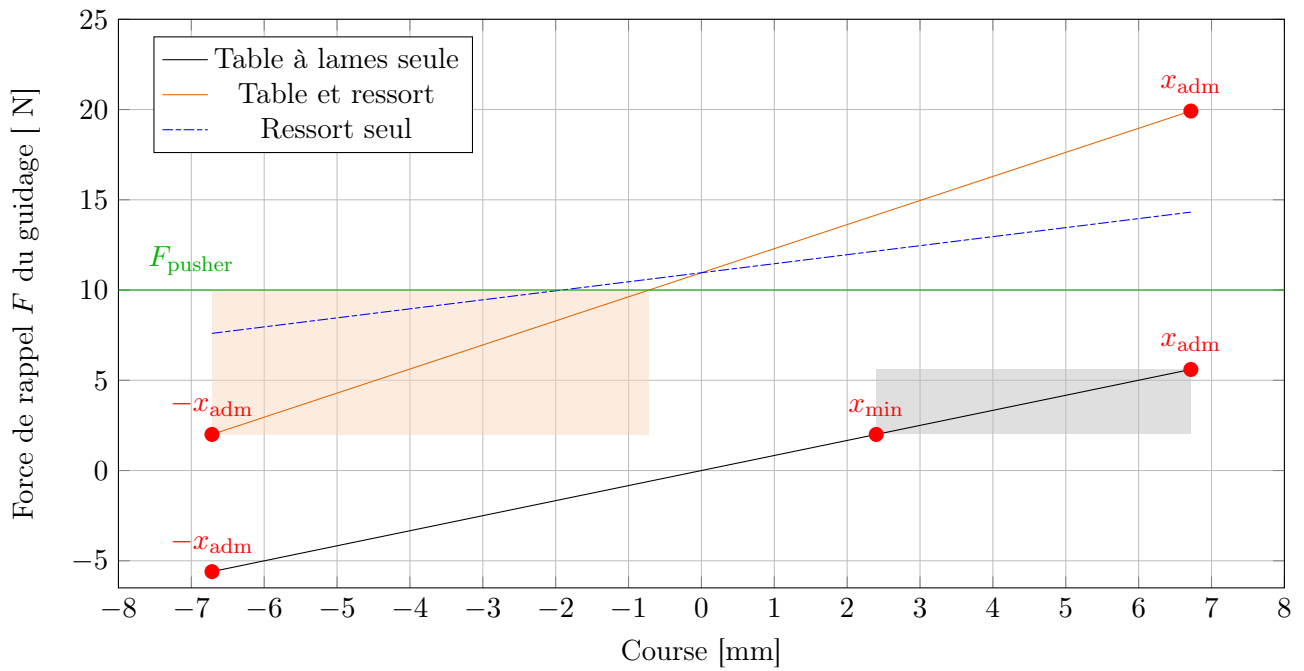
- $x_{\text{min}} = F_{\text{min}} / K_{\text{table lames}} = \boxed{2,4 \text{ mm}}$
- Course utilisable du guidage flexible = $x_{\text{adm}} - x_{\text{min}} = 6,72 - 2,4 = 4,32 \text{ mm}$



5. Force de précontrainte qu'il faut appliquer au ressort de telle sorte que la force de poussée minimale F_{min} reste respectée sur toute la course :

- La flèche du ressort qui garantit une poussée F_{min} lorsque le guidage est en fin de course est :
 $x_{\text{ressort butee}} = (F + F_{\text{min}}) / K = 15,20 \text{ mm}$
- La flèche du ressort correspondante, lorsque le guidage est en position nominale est :
 $x_{\text{precontrainte}} = x_{\text{ressort butee}} + x_{\text{adm}} = 21,92 \text{ mm}$
- La précontrainte correspondante est :
 $F_{\text{precontrainte}} = K \cdot x_{\text{precontrainte}} = \boxed{10,96 \text{ N}}$

6. Caractéristique force-déformation du guidage et de son ressort de précharge



En présence du ressort de précharge, le Pusher n'a pas la force d'amener le mécanisme jusqu'à la position $+x_{adm}$. La plage utilisable reste limitée au rectangle de gauche sur le graphique.

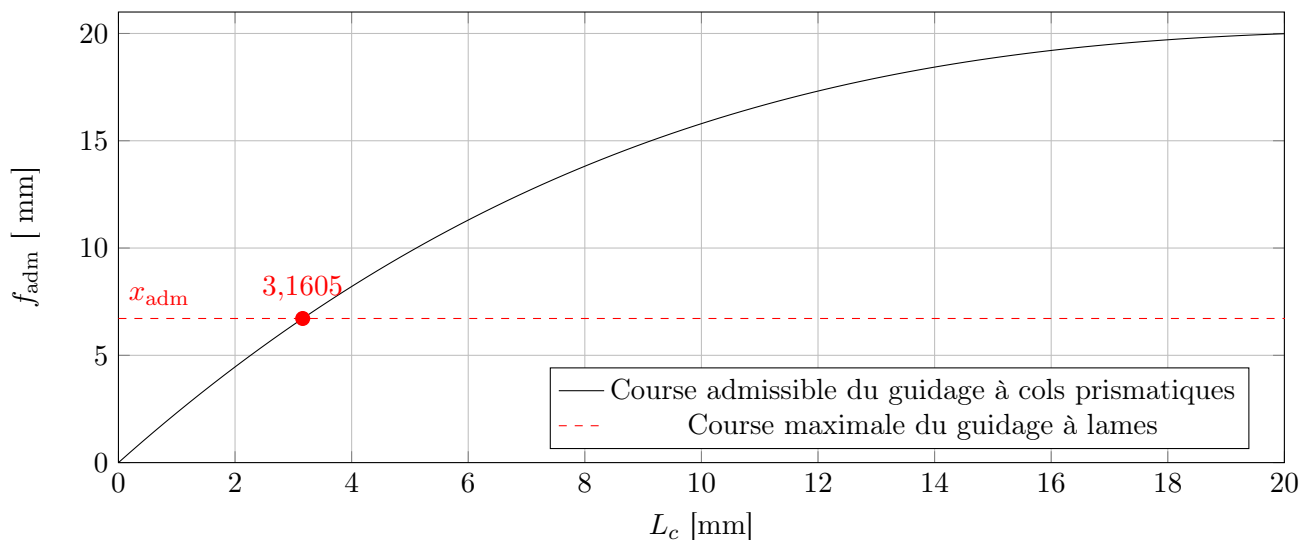
7. Exemple de mesures à prendre pour diminuer la rigidité du système guidage-ressort :

- Utiliser un ressort de précharge avec une rigidité plus faible.
- Diminuer la rigidité du guidage flexible en utilisant par exemple une épaisseur de lame plus faible.
- Utiliser un guidage à quatre cols prismatiques ou circulaires.
- Utiliser un mécanisme de compensation de rigidité.

8. Longueur minimale des cols L_c pour atteindre la course x_{adm} avec le même facteur de sécurité S que précédemment :

Course admissible pour une table à quatre cols prismatiques :

$$f_{adm} = \frac{\xi \cdot (3 - 3\xi + \xi^2) \cdot L^2 \cdot \sigma_{adm}}{3 \cdot E \cdot h_c} \quad \text{avec } \xi = \frac{2 \cdot L_c}{L}$$



9. Force de rappel maximale de la table à quatre cols :

- Longueur des cols prismatiques : $L_c = 3,16 \text{ mm}$
- Coefficient ξ : $\xi = 2 \cdot L_c / L$
- Rigidité de la table à quatre cols : $K_{\text{table cols}} = \frac{2 \cdot E \cdot b \cdot h_c^3}{\xi \cdot (3 - 3 \cdot \xi + \xi^2) \cdot L^3} = 92,6 \text{ N m}^{-1}$
- Force de rappel maximale de la table à quatre cols : $F_{\text{table cols}} = K_{\text{table cols}} \cdot x_{\text{adm}} = \boxed{0,62 \text{ N}}$

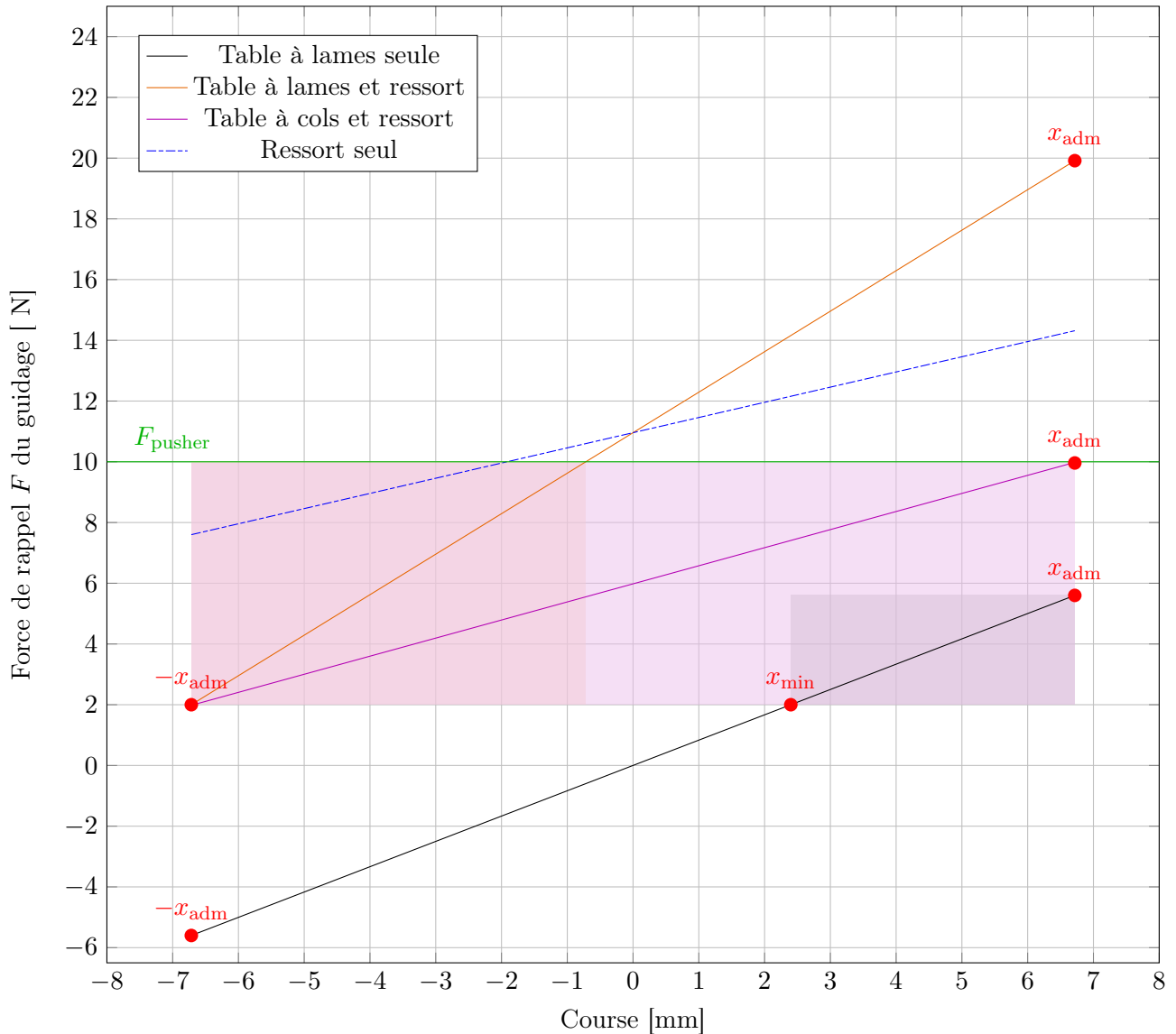
10. Déformée du ressort lorsque le guidage est en fin de course, de manière avoir une poussée minimale F_{\min} :

- $x_{\text{ressort butee cols}} = (F_{\text{table cols}} + F_{\min}) / K = 5,24 \text{ mm}$
- $x_{\text{precontrainte cols}} = x_{\text{ressort butee cols}} + x_{\text{adm}} = 11,96 \text{ mm}$

Force maximale que doit produire l'actionneur dans ce cas :

- $F_{\max \text{ cols}} = K_{\text{table cols}} \cdot x_{\text{adm}} + K \cdot (x_{\text{precontrainte cols}} + x_{\text{adm}}) = \boxed{9,96 \text{ N}}$

Cette fois, en présence du ressort de précharge, le Pusher a la force d'amener le mécanisme jusqu'à la position $+x_{\text{adm}}$. Toute la plage du guidage est utilisable (i.e. de $-x_{\text{adm}}$ à $+x_{\text{dam}}$) et la force d'appui minimale F_{\min} est garantie : grand rectangle sur le graphique.



Solution 6 : Convertisseur micrométrique

1. Les trois lames travaillent en parallèles :

$$\bullet k_{\text{eq}} = 3 \cdot k_{\text{lame}} = 3 \cdot \frac{12 \cdot E \cdot I}{L^3} = 3 \cdot \frac{12 \cdot E}{L^3} \cdot \frac{b \cdot h^3}{12} = 3 \frac{E \cdot b \cdot h^3}{L^3} = \boxed{1867 \text{ N m}^{-1}}$$

2.1. Raccourcissement des deux lames de droite :

$$\bullet y' = \frac{3 \cdot x^2}{5 \cdot L} = \boxed{80 \text{ } \mu\text{m}}$$

2.2. Déplacement vertical y :

$$\bullet \text{Raccourcissement de la lame prédéformée : } y'' = \frac{3 \cdot (x + x_0)^2}{5 \cdot L} - \frac{3 \cdot x_0^2}{5 \cdot L}$$

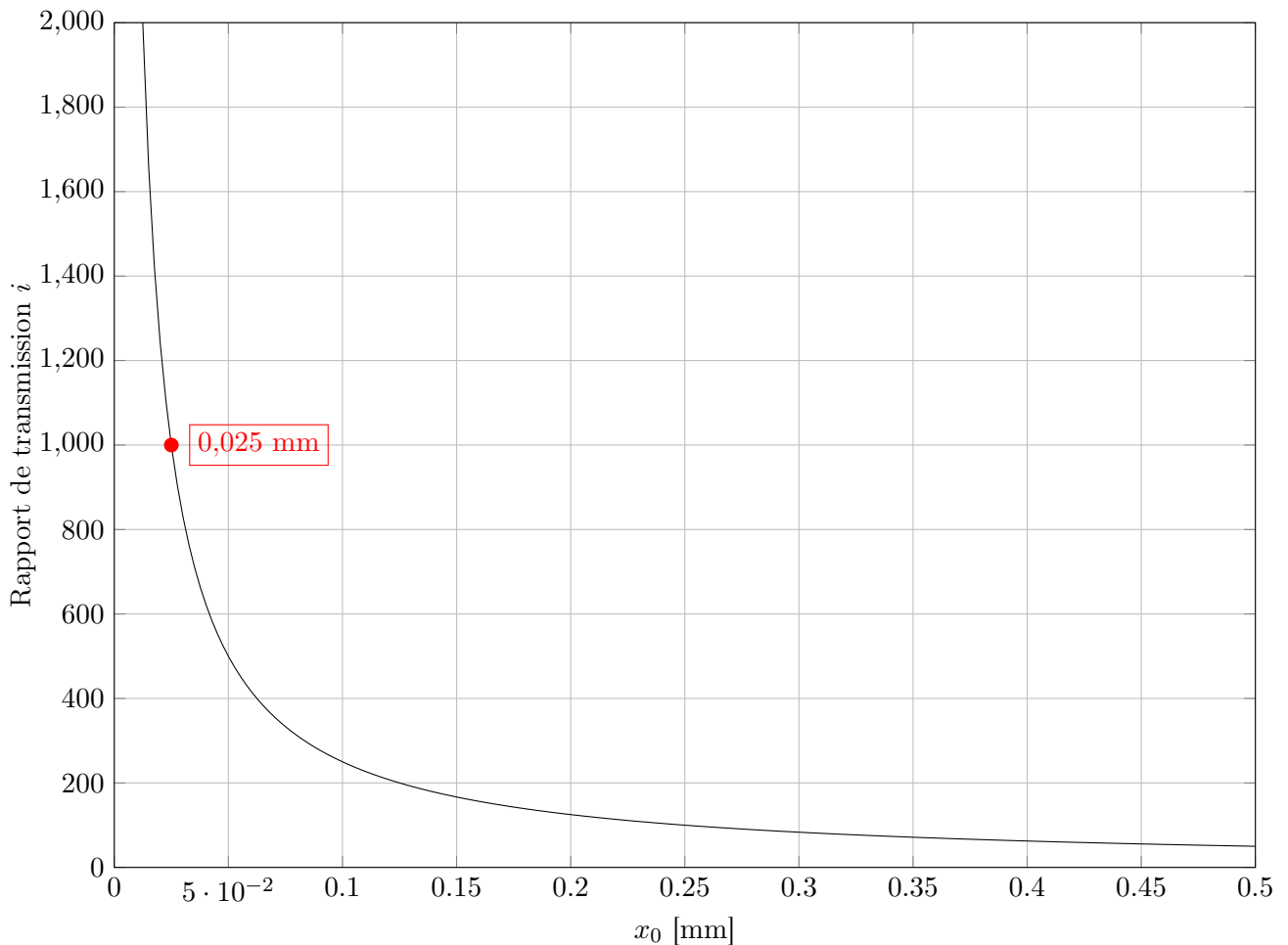
$$\bullet \text{Déplacement vertical du bloc de sortie S : } y = y'' - y' = \boxed{40 \text{ } \mu\text{m}}$$

3. Rapport de transmission $i = x/y = \boxed{50}$

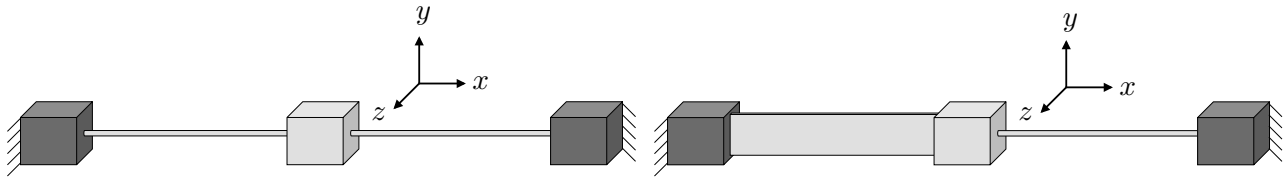
Démonstration du fait que le rapport de transmission est constant :

$$\begin{aligned} \bullet y &= y'' - y' \\ \bullet y &= \frac{3}{5 \cdot L} (x^2 + x_0^2 + 2 \cdot x \cdot x_0 - x_0^2 - x^2) \\ \bullet y &= \frac{3}{5 \cdot L} (2 \cdot x \cdot x_0) \\ \bullet y &= \frac{6 \cdot x_0}{5 \cdot L} \cdot x \\ \bullet i &= \frac{x}{y} = \frac{5 \cdot L}{6 \cdot x_0} \end{aligned}$$

4. Evolution du rapport de transmission i en fonction de x_0

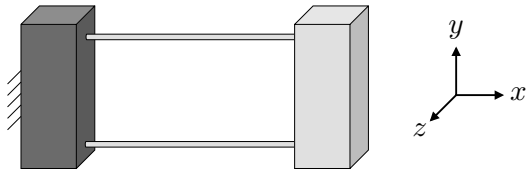


Solution 2 : Analyse cinématique qualitative de guidages flexibles à articulations orthogonales

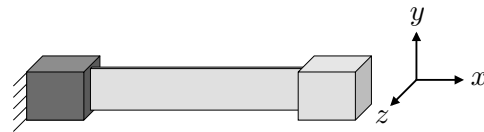


(a) $x_2 y^{LF} z^{LF} r_x^F r_y^{LF} r_z^{LF}$
DOF=5; M=4; DOH=1

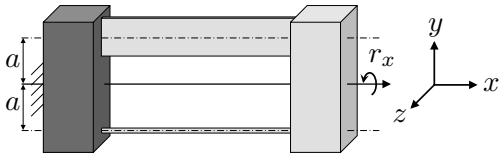
(b) $x_2 y_1 z^{LFp} r_x^F r_y^{LFp} r_{z1}$
DOF=3; M=2; DOH=1



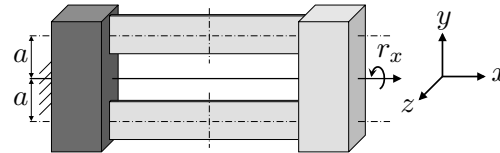
(c) $x_1 y^{Fp} z^{Fp} r_x^{Fp} r_y^{F(p)} r_{z1}$
DOF=4; M=4; DOH=0



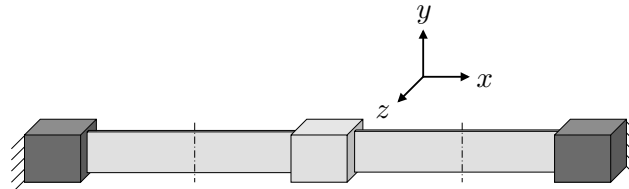
(d) $x_1 y_1 z^{Fp} r_x^F r_y^{F(p)} r_{z1}$
DOF=3; M=3; DOH=0



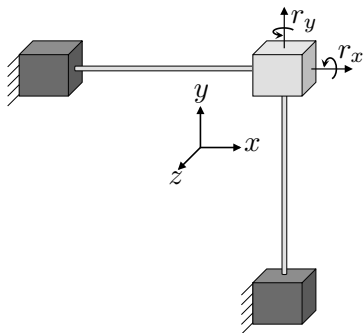
(e) $x_1 y_1 z^{Fp} r_x^{(L)Fp} r_y^{F(p)} r_{z2}$
 $(x_2 y_1 z^{Fp} r_x^{(L)F} r_y^{F(p)} r_{z1})$
DOF=3; M=2; DOH=1



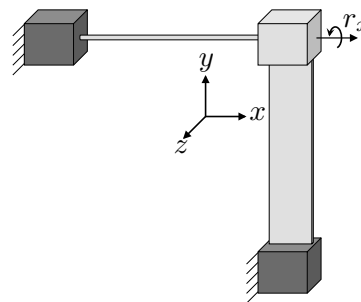
(f) $x_1 y_2 z^{Fp} r_x^{(L)Fp} r_y^{F(p)} r_{z3}$
 $(x_2 y_2 z^{Fp} r_x^{(L)Fp} r_y^{F(p)} r_{z2})$
DOF=3; M=0; DOH=3



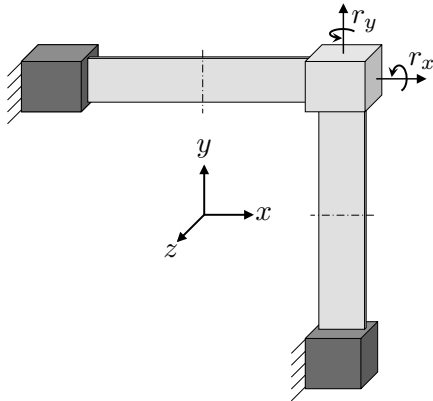
(g) $x_2 y_1 z^{LF} r_x^F r_y^{LF} r_{z3}$
 $(x_2 y_2 z^{LF} r_x^F r_y^{LF} r_{z2})$
DOF=3; M=0; DOH=3



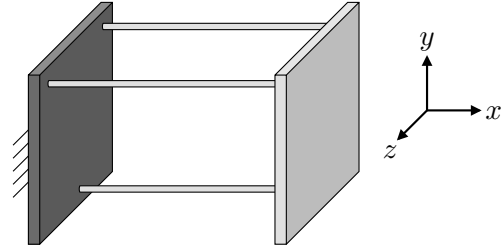
(h) $x_1 y_1 z^{Fp} r_x^{Fp} r_y^{Fp} r_z^{Fp}$
DOF=4; M=4; DOH=0



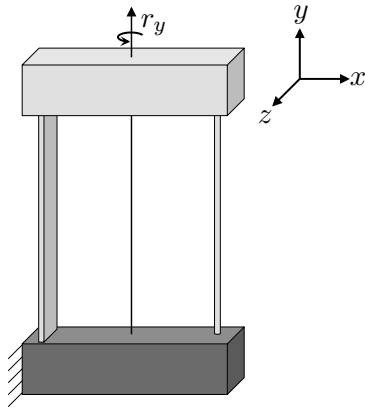
(i) $x_1 y_1 z^{LFp} r_x^{F(p)} r_y^{LFp} r_{z2}$
 $(x_2 y_1 z^{LFp} r_x^{F(p)} r_y^{LFp} r_{z1})$
DOF=3; M=2; DOH=1



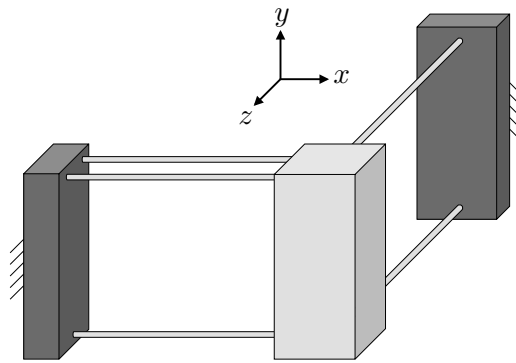
(a) $x_1 y_1 z^{LFp} r_x^{LFp} r_y^{LFp} r_{z4}$
 $x_2 y_2 z^{LFp} r_x^{LFp} r_y^{LFp} r_{z2}$
 DOF=3; M=0; DOH=3



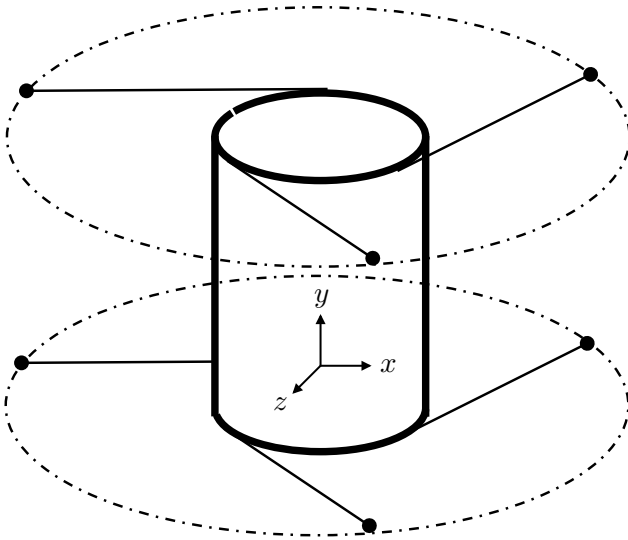
(b) $x_1 y^{Fp} z^{Fp} r_x^{Fp} r_{y1} r_{z1}$
 DOF=3; M=3; DOH=0



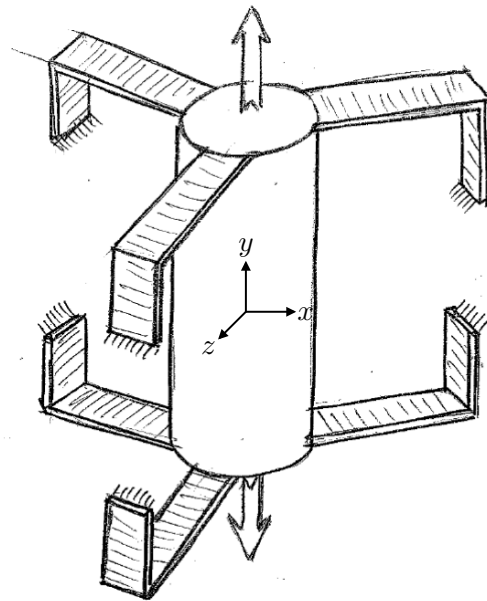
(c) $x^{Fp} y_1 z_1 r_{x1} r_y^{Fp} r_{z1}$
 DOF=2; M=2; DOH=0



(d) $x_1 y^{Fp} z_1 r_{x1} r_{y1} r_{z1}$
 DOF=1; M=1; DOH=0

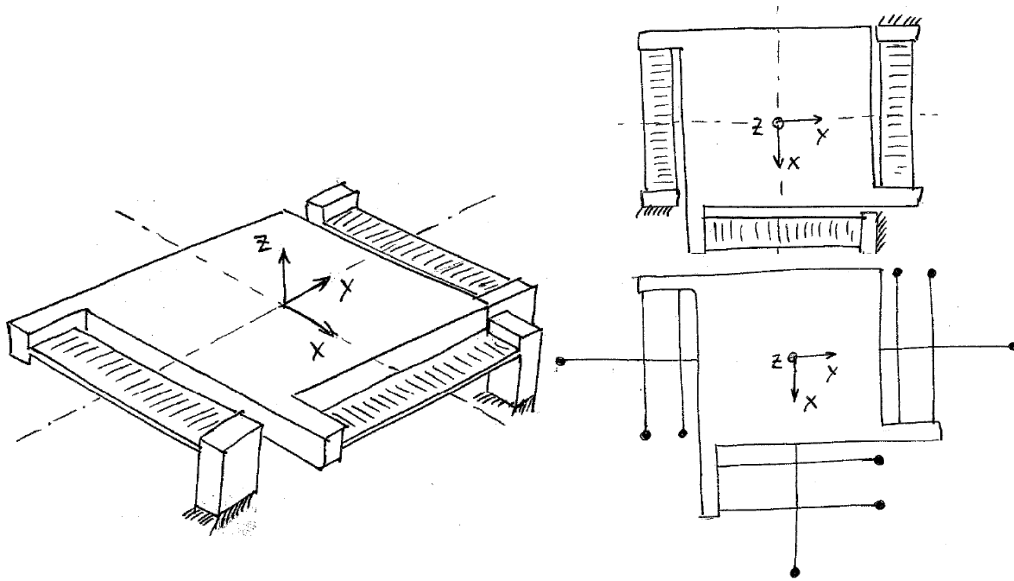


(e) $x_1 y^{Fp} z_1 r_{x1} r_{y2} r_{z1}$
 DOF=1; M=0; DOH=1

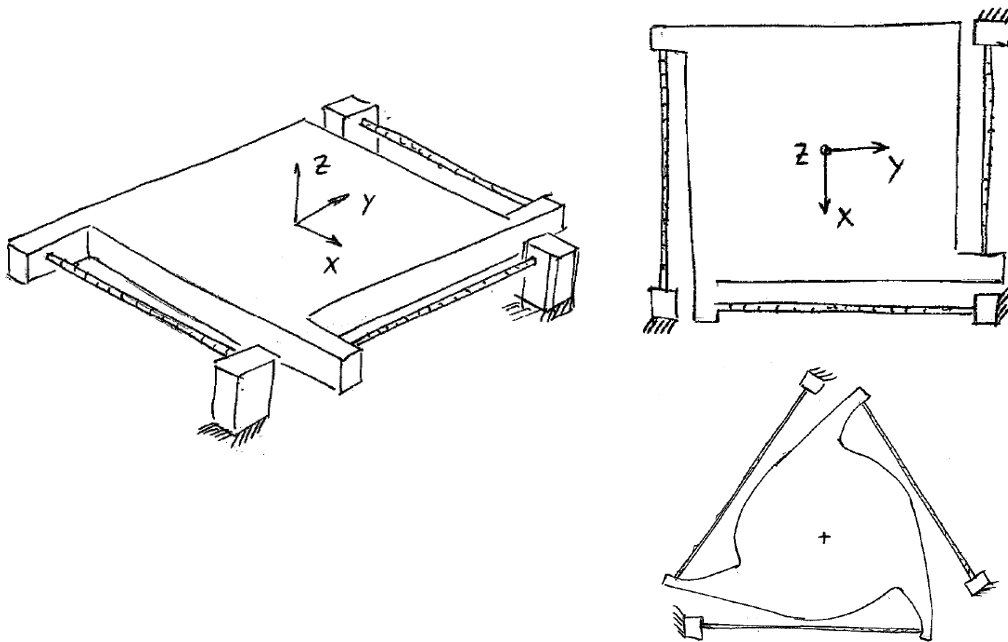


(f) $x_1 y^F z_1 r_{x1} r_{y2} r_{z1}$
 DOF=1; M=0; DOH=1

Série n°2



(a) $x_1 y_2 z^{LFP} r_x^{LFP} r_y^{LFP} r_{z6}$
DOF=3; M=-3; DOH=6



(b) $x_1 y_1 z^{FP} r_x^{FP} r_y^{FP} r_{z1}$
DOF=3; M=3; DOH=0

Série n°3